

TS710-3, Fig. C1Wdd: Elemento A: rejillas radial N-W, W-N, N-Z y W-Z; PS operator: *rgb/cmky0*

$L^*/Y_{\text{pretenden}}$  18.0/18.0 37.3/37.3 56.7/56.7 76.1/76.0 95.4/95.4  $N_0$ (min.)  $W_1$ (max.)  
(absoluta)



$w^*-l^*_{\text{CIELAB}, r}$  (relativa)  
 $w^*_\text{entrada}$  0,000 0,250 0,500 0,750 1,000  $N_0$ (min.)  $W_1$ (max.)  
 $w^*_\text{salida}$

TS710-5, Fig. C2Wdd: Elemento B: 5 equidistante  $L^*$  pasos de gris +  $N_0$  +  $W_1$ ; PS operator: *rgb/cmky0*

$L^*/Y_{\text{pretenden}}$  18.0/18.0 23.2/23.2 28.3/28.3 33.5/33.5 38.6/38.6 43.8/43.8 49.0/49.0 54.1/54.1  
(absoluta)

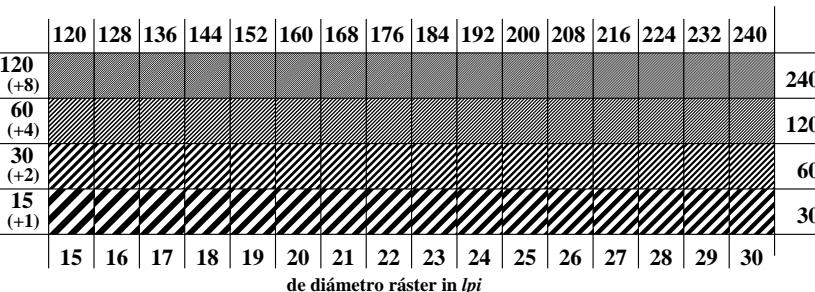


$N_0$  y código Hex 00;F 01;E 02;D 03;C 04;B 05;A 06;9 07;8 08;7 09;6 10;5 11;4 12;3 13;2 14;1 15;0  
 $w^*-l^*_{\text{CIELAB}, r}$  (relativa)  
 $w^*_\text{entrada}$  0,000 0,067 0,133 0,200 0,267 0,333 0,400 0,467 0,533 0,600 0,667 0,733 0,800 0,867 0,933 1,000  
 $w^*_\text{salida}$

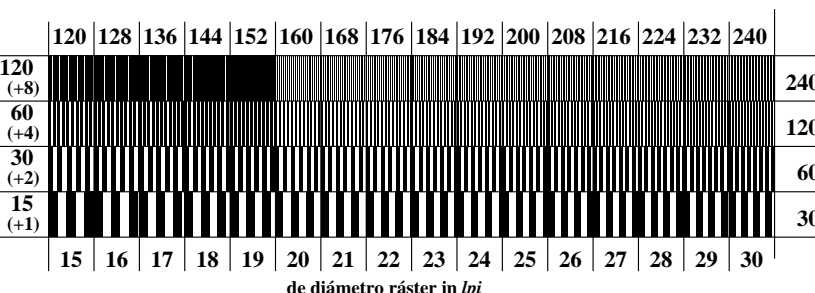
TS710-7, Fig. C3Wdd: Elemento C: 16 equidistante  $L^*$  pasos de gris; PS operator: *rgb/cmky0*

paso fondo	0	1	paso del anillo	0-1
Código Hexadecimal	7	Código Hexadecimal	7-8	
E	F	F	E-F	
2	0	0	2-0	
8	6	6	8-6	
F	D	D	F-D	

TS711-1, Fig. C4Wdd: Elemento D: anillos de Landolt W-N; PS operator: *rgb/cmky0*



TS711-3, Fig. C5Wdd: Elemento E: Trama linea menores de 45° (o 135°) grados; PS operator: *rgb/cmky0*



TS711-5, Fig. C6Wdd: Elemento F: Trama linea menores de 90° (o 0°) grados; PS operator: *rgb/cmky0*

